

Partie A : L'électron en chimie, de l'atome au métal

A1. DE L'ATOME À LA MOLECULE

(A1) F: $1s^2 \underline{2s^2} 2p^5$
 H: $1s^1$ } configurations électroniques avec OA de valence soulignées.

(A2) $\chi_F > \chi_H \Rightarrow$ les OA de valence de F sont plus basses que celle de H.

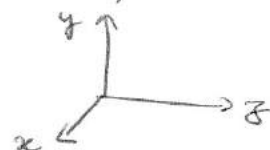
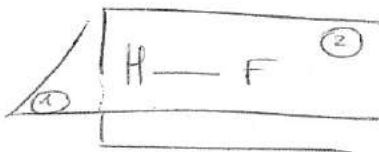
(A3) Pour pouvoir faire interagir 2 OA, il est nécessaire que :

- leur recouvrement soit non nul.
- l'écart d'énergie ne soit pas trop élevé.

(A4) Le fort écart énergétique entre 2s(F) et 1s(H) entraîne une interaction négligeable de ces OA, malgré un recouvrement normal.

Pour déterminer les OA pouvant interagir, on peut détecter la(s) d'orthogonalité en utilisant les opérations de symétrie de l'édifice à construire (H-F)

H-F est linéaire : 2 plans orthogonaux suffisent à étudier les symétries.



	1s(H)	2s(F)	2px(F)	2py(F)	2pz(F)
Représentation					
①	S	S	S	A	S
②	S	S	A	S	S

interaction négligeable

seules dans leur plan de symétrie. \Rightarrow non liantes

Seule interaction à considérer :

$|2pz(F) \text{ avec } 1s(H)|$

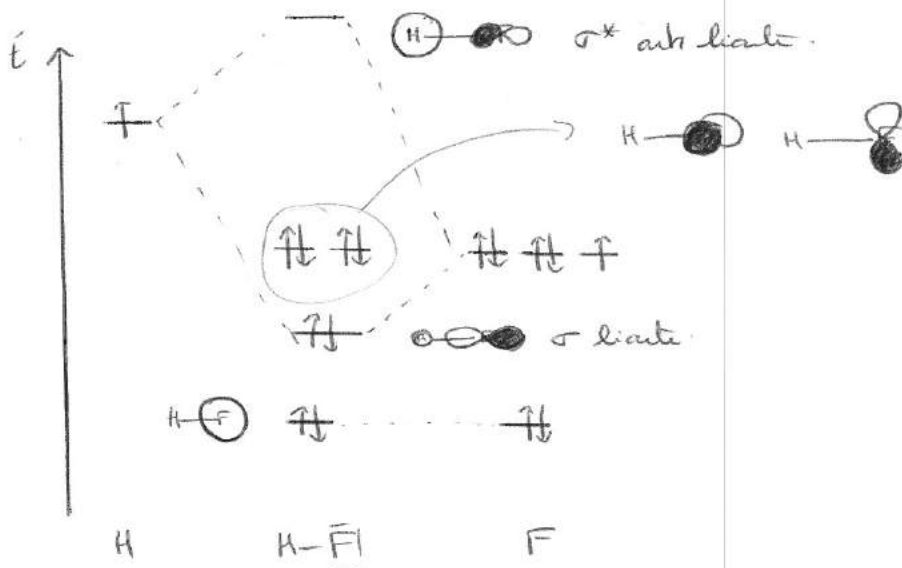
interaction σ (recouvrement sur l'axe de liaison) ①

① le plan médian H-F n'est pas un élément de symétrie de H-F ($H \neq F$!!!).

[A16] H appelle 1 é de valence, F en appelle 7.

⇒ HF possède $1+7=8$ é de valence.

[A17] Les électrons peuplent les OM par ordre croissant d'énergie



[A18] 2 é occupent l'OM σ liante (les 3 autres OM occupés sont non liants).

Il n'y a aucun é dans l'OM anti-liante.

⇒ indice de liaison = 1 comme pour le modèle de Lewis



A.2 L'ELECTRON SOLVATE DANS L'AMMONIAC

[A21] Les solvants de forte perméabilité semblent engendrer une absorption maximale à des longueurs d'onde faible. ($E_r \nearrow \Rightarrow \lambda_{\max} \downarrow$)

⇒ $\lambda_{\max}(\text{eau}) < 250 \text{ nm} \Rightarrow$ domaine ultra-violet.

[A22] De la même façon, $E_r(\text{toluène}) < E_r(\text{BEE})$

⇒ $\lambda_{\max}(\text{toluène}) > \lambda_{\max}(\text{BEE})$
↳ 2250 nm.

⇒ $\lambda_{\max}(\text{toluène}) \in \text{infrarouge}$

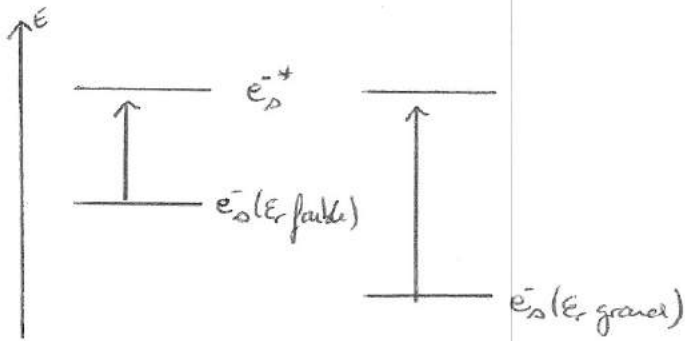
[A23] Le photon absorbé transporte une énergie $E = h\nu = [E(e^-_s) - E(e^-_\infty)]$

dépend du solvat supposé indépendant du solvat

⇒ $E(e^-_s)$ se dépend de solvat.

$$\mathcal{E} = h\nu = \frac{hc}{\lambda_{\text{max}}} \Rightarrow$$

λ_{max} élevé $\Rightarrow \mathcal{E} = h\nu$ faible

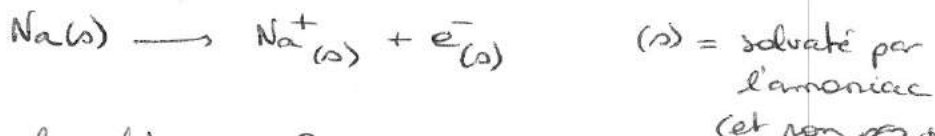


Un solvant de grande permittivité stabilise l'électron solvaté.
 $\Rightarrow \mathcal{E}$ plus grand.

$$\text{La force électrostatique } \vec{F} = \frac{q_1 q_2}{4\pi\epsilon_0 \epsilon_r d^2} \vec{r}$$

Si ϵ_r est élevé, la force d'attraction cation - é est plus faible \Rightarrow l'électron est moins attiré par des charges positives dans un solvant disposant (ϵ_r élevé).
 \Rightarrow e_s^- est + stable si ϵ_r est élevée

[A24] le sodium est un métal alcalin. Il est donc très réducteur. Il perd facilement un électron ce qui lui permet d'obtenir une structure de gaz noble.



[A25] D'après la relation de Beer-Lambert:

$$A = \epsilon(800\text{nm}) l \cdot [e_s^-].$$

$$\text{à } t=0, A = 0,298 \Rightarrow [e_s^-]_0 = \frac{A}{\epsilon l} = \frac{0,298}{4700 \times 1}$$

$$[e_s^-]_0 = 6,3 \cdot 10^{-5} \text{ mol.l}^{-1}$$

ϵ est donné au début de l'exercice.

[A26] Si la croissance est d'ordre 2, alors

$$\left\{ \begin{array}{l} v = -\frac{d[e_s^-]}{dt} \text{ par définition.} \\ v = k [e_s^-]^2 \text{ si la loi de vitesse est d'ordre 2.} \\ -\frac{d[e_s^-]}{dt} = k [e_s^-]^2 \quad \frac{[e_s^-]}{\epsilon l} = \frac{A}{\epsilon l} \quad -\frac{dA}{dt} = \frac{k}{\epsilon l} A^2. \end{array} \right.$$

Après séparation des variables (A et t) et intégration:

$$\int_{A_0}^A -\frac{1}{A^2} dA = \int_0^t \frac{k}{\epsilon l} dt \Rightarrow \frac{1}{A} - \frac{1}{A_0} = \frac{k}{\epsilon l} t$$

1) Le sujet invite à utiliser la méthode intégrale, donc à intégrer la loi de vitesse.

Donc on avait pris son traceur $(-\frac{dA}{dt})$ en fonction de A^2 .

Le tracé aurait donné une droite de coefficient directeur positif $(\frac{k}{\epsilon l})$ ou cas de l'ordre de croissance de l'hypothèse (3).

Cette hypothèse d'ordre 1 est validée si $\frac{1}{A} = f(t)$ sur une droite croissante.

$$\begin{cases} Y = \frac{1}{A} \\ X = t \end{cases} \quad \text{modèle: } Y = \frac{k}{\varepsilon e} X + \frac{1}{A_0}$$

régression linéaire: $Y = 9,35X + 335$

Coefficient de corrélat $R^2 = 0,9994 \Rightarrow$ modèle et expérience assimilables.

$$\text{Ordre 2 validé} \Rightarrow \frac{k}{\varepsilon e} = 9,35 \Rightarrow \boxed{k = 4,4 \cdot 10^4 \text{ L.mol}^{-1}(\mu\text{s})^{-1}}$$

(A27) (A27.1) Par analogie, le tracé $\frac{1}{A} = f(t)$ pr l'intervalle $[0; 35] \mu\text{s}$ donne un coefficient de corrélat $R^2 = 0,9649$.

\Rightarrow le tracé n'est pas linéaire \Rightarrow l'ordre 2 ne convient pas.

(A27.2) Si 2 processus sont en compétition.

$$\begin{aligned} A &= \varepsilon e [e_X] \quad - \frac{d[e_X]}{dt} = k_1 [e_X] + k_2 [e_X]^2 \\ &\quad - \frac{dA}{dt} = k_1 A + \frac{k_2}{\varepsilon e} A^2 \\ &\quad \frac{1}{A} \times \left(-\frac{dA}{dt} \right) = k_1 + \frac{k_2}{\varepsilon e} A \\ &\quad Y = k_1 + \frac{k_2}{\varepsilon e} X \end{aligned}$$

En tracant $-\frac{1}{A} \frac{dA}{dt} = f(A)$, on doit obtenir une droite de coefficient directeur positif ($\frac{k_2}{\varepsilon e}$) et d'ordonnée à l'origine positive (k_1).

$$\text{Modèle: } Y = k_1 + \frac{k_2}{\varepsilon e} X.$$

$$\text{Expérience: } Y = 3,28 + 69,5X \quad \text{avec } R^2 \approx 1.$$

hypothèse validée.

Soit une espèce X consommée par 2 processus compétitifs (non élémentaires ici)

$X \rightarrow P_1$ avec $v_1 = k_1 A$

$X \rightarrow P_2$ avec $v_2 = k_2 [X]$

$$\text{alors } \frac{d[X]}{dt} = -v_1 - v_2$$

$$-\frac{d[X]}{dt} = v_1 + v_2$$

$$-\frac{d[X]}{dt} = k_1 [X] + k_2 [X]^2$$

(A27.3) Par identification de l'équation modèle et de la droite de régression.

$$\boxed{k_1 = 3,28 (\mu\text{s})^{-1} = 3,28 \cdot 10^6 \text{ s}^{-1}}$$

$$k_2 = 69,5 \times \varepsilon e = 3,27 \cdot 10^6 \text{ L.mol}^{-1}(\mu\text{s})^{-1}$$

$$\boxed{k_2 = 3,27 \cdot 10^{12} \text{ L.mol}^{-1}\text{s}^{-1}}$$

$$1 \mu\text{s} = 1 \cdot 10^{-6} \text{ s}$$

$$\begin{aligned} 1 (\mu\text{s})^{-1} &= \frac{1}{1 \mu\text{s}} \\ &= \frac{1}{1 \cdot 10^{-6}} \\ 1 (\mu\text{s})^{-1} &= 1 \cdot 10^6 \text{ s}^{-1} \end{aligned}$$

A3 - REACTIONS DE TRANSFERT D'ELECTRONS.

[A31] La puissance fournie par un générateur est $P = n \cdot i \cdot U$.
L'énergie délivrée par une durée dt est donc $dW_e = n \cdot i \cdot U \cdot dt$.

$$\text{or } i = \frac{dq}{dt} \Rightarrow idt = dq = n \cdot d\zeta \cdot F$$

↑ ↓
charge électrique charge d'une mole d'e⁻
transférée au circuit

Énergie fournie par le générateur : $\boxed{dW_e = e \cdot n \cdot F \cdot d\zeta}$

[A32] D'après le premier principe, $dU = dW + dQ = dW_p + dW_e' + dQ$.

avec $dW_e' = -dW_e$
recu par pile ↑ fourni par pile
 $dW_p = -pdV = -d(PV)$ si P est constante ↑ travail des forces pressantes ↑ travail reçu par le système
($P = P_{ext} = \text{cte}$) chaleur (pile)

$$\Rightarrow dU + d(PV) = dH = -dW_e + dQ.$$

D'après le second principe, $dS = dS_e + dS_c = \frac{dQ}{T_{ext}} + dS_c = \frac{dQ^{\text{rev}}}{T_{ext}}$

$$T = T_{ext} = \text{cte} \Rightarrow dS = \frac{dH + dW_e^{\text{rev}}}{T} \Rightarrow TdS = dH + dW_e^{\text{rev}}$$

(comme $T = \text{cte}$, $TdS = d(TS)$) $\Rightarrow -dH + d(TS) = dW_e^{\text{rev}}$
 $-dG = dW_e^{\text{rev}}$

Dans un système siège d'une unique transformation chimique, les seuls variables (T, P et ζ) suffisent à décrire l'état du système.

$$G(T, P, \zeta) \Rightarrow dG = \left(\frac{\partial G}{\partial T}\right)_{P, \zeta} dT + \left(\frac{\partial G}{\partial P}\right)_{T, \zeta} dP + \left(\frac{\partial G}{\partial \zeta}\right)_{T, P} d\zeta.$$

) T et P cte.

$$dG = \left(\frac{\partial G}{\partial \zeta}\right)_{T, P} d\zeta = \Delta G \cdot d\zeta$$

En final, $dG = \Delta G \cdot d\zeta = -dW_e^{\text{rev}} = -nFed\zeta$.

$$\Rightarrow \boxed{\Delta G = -nFe.}$$

Δ d'après la notation,
il n'est pas la qt de matière de ayant été débâtie, mais le "nbre stoich" ds e⁻ de la combinaison linéaire des 1/2 mol de

le sujet aurait dû préciser 2 hypothèses de travail

$$\otimes P = P_{ext} = \text{cte}$$

$$\otimes T = T_{ext} = \text{cte}$$

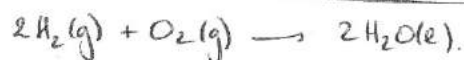
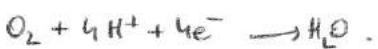
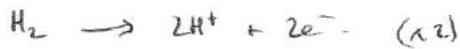
(voir cours)

⊗ fonction réversible

Il est possible de calculer dS sur n'importe quel chemin. S est une fonction d'état. Sa variation dS ne dépend pas du chemin suivi.

A33) Dans le cas de la pile à combustible dihydrogène/air, le système est non polluant car il produit de l'énergie en fabriquant de l'eau perdant son fonctionnement.

A34) L'énoncé précise que les réactifs sont H_2 et O_2 . Il convient d'écrire les demi-équations des 2 réactifs:



↓ combinaison avec
4e échangés ($n=4$)

A35) $\eta = \left| \frac{\text{énergie électrique fournie}}{\text{énergie thermique échangée}} \right| = \left| \frac{nFE \cdot \Delta S}{\Delta rH \cdot \Delta S} \right| = \left| \frac{\Delta G}{\Delta rH} \right|$

A36) Il convient de faire l'approximation des mélange idéaux.
 $\Delta rH \approx \Delta rH^\circ$

$\Delta rH^\circ = 2\Delta fH^\circ(H_2O, l) - 2\Delta fH^\circ(H_2, g) - \Delta fH^\circ(O_2, g)$
loi de Hess

$$\Rightarrow \Delta rH^\circ = -571,6 \text{ kJ.mol}^{-1}$$

≈ 0 ce sont les états standard de référence des éléments O et H.

Par ailleurs, l'énoncé précise que $P=P^\circ$, et les composés sont pris ce qui invite à comprendre que le système doit être à l'état standard.

$$\Delta rG = \Delta rG^\circ = \Delta rH^\circ - T \cdot \Delta rS^\circ$$

↑ par cette indication
fournie par les cheveux

$$\Delta rS^\circ = 2S_m(H_2O, l) - 2S_m(H_2, g) - S_m(O_2, g)$$

$$\Delta rS^\circ = -327 \text{ J.K}^{-1}. \text{mol}^{-1}$$

$$\eta = \left| \frac{\Delta rG^\circ}{\Delta rH^\circ} \right| = \frac{474}{572} = 82\%. \quad \text{Rendement assez correct}$$

A37) En utilisant la relation mentionnée en A32 et avec l'hypothèse $\Delta rG = \Delta rG^\circ = -nFE^\circ$.

$$-474 \cdot 10^3 = -4Fe \Rightarrow E^\circ = 1,23 \text{ V.}$$

A38) La résistance interne de la pile (chute ohmique) limite la tension délivrée, ainsi que d'éventuels surtensions.

la gestion est faite par les cheveux vu qu'on ne sait pas de quelle pile à combustible et de quelle batterie ou pile ...

le sujet annonce enfin les hypothèses de travail ...

Cours : $\delta Q_{T, P, \text{ext}} = \Delta rH \cdot \Delta S$
(transfert thermique à T, P, ext)

↑ l'approximation des mélange idéaux n'est pas valable pour G et S !

que l'énoncé est mal posé !!!

(mais non atteint avec de nombreux systèmes réels)

↑↑↑↑ En dehors de ce sujet, je pourrais dire que $\Delta rG = \Delta rG^\circ$
car $\Delta rG = \Delta rG^\circ + R_{\text{int}} \Delta T$
↑↑↑↑
dépend dépend dépend de T, P, J de T de P, J

A39 Les 32 cellules en série sont parcourues par le même courant.
 Pendant 100h ($= 3,6 \cdot 10^5$ s), la charge électrique débitée
 est donc $I \cdot \Delta t = 7,2 \cdot 10^7$ C $\xrightarrow{\text{représente}}$ 746 mol d'échanges.

Pour 1 mole de H_2 consommé, il faut 2 molles de e^- .

$$\Rightarrow n_{e^-} = 2 n_{H_2} \Rightarrow n_{H_2 \text{ consommé}} = 373 \text{ mol.}$$

$$\Rightarrow \boxed{\text{Masse de } H_2 = 746 \text{ g}}$$

$$\rightarrow M_{H_2} = 2,0 \text{ g/mol}^{-1}$$

A4 - LES METAUX

A4.1 e^- mobiles \Rightarrow conduction électrique.

Par ailleurs, les métaux présentent un "état métallique" et une bonne conduction thermique.

A4.2 Une maille fcc d'argent contient 4 atomes d'argent ($8 \times \frac{1}{8} + 6 \times \frac{1}{2}$)
 le volume de la maille est a^3 .

L'arête de la maille est reliée au rayon métallique de l'argent.

$$a\sqrt{2} = 4R_{Ag} \Rightarrow a = 2\sqrt{2} R_{Ag} = 407 \text{ pm}$$

Flasme volumique :

$$\rho = \frac{4 M_{Ag}}{N_A \cdot a^3} = \frac{M_{Ag}}{4\sqrt{2} N_A \cdot R_{Ag}^3} = 10,6 \cdot 10^3 \text{ kg.m}^{-3}$$

c'est un métal très dense.

($d = 10,6$ car $\rho_{au} = \underline{1 \cdot 10^3 \text{ kg.m}^{-3}}$)

A4.3 ① Alliage d'insertion: les atomes de l'élément accueilli occupent les cavités des métal hôte.

Alliage de substitution: les atomes de l'élément accueilli occupent des postes utilisés normalement par les atomes du réseau hôte.

② Sites octaédriques

* déf^o: cavité délimitée par 6 sphères intérieures aux sommets d'un octaèdre.

* postes du 1^{re} réseau fcc \curvearrowright centre du cube \curvearrowright milieux des arêtes

Sites tétraédriques

* déf^o: cavité délimitée par 4 sphères intérieures aux sommets d'un tétraèdre

* postes du 1^{re} réseau fcc aux quarts des diagonales du cube à parti des sommets (ou dire centres des 8 cubes d'arête $\alpha/2$)

Représentations → voir cours.

③ Condition d'habitabilité dun site tétraédrique:

$$\frac{a\sqrt{3}}{4} = R_{Ag} + R_T \Rightarrow R_T = 32 \text{ pm. } (\text{tangence sur le } \frac{1}{4} \text{ de diagonale du cube})$$

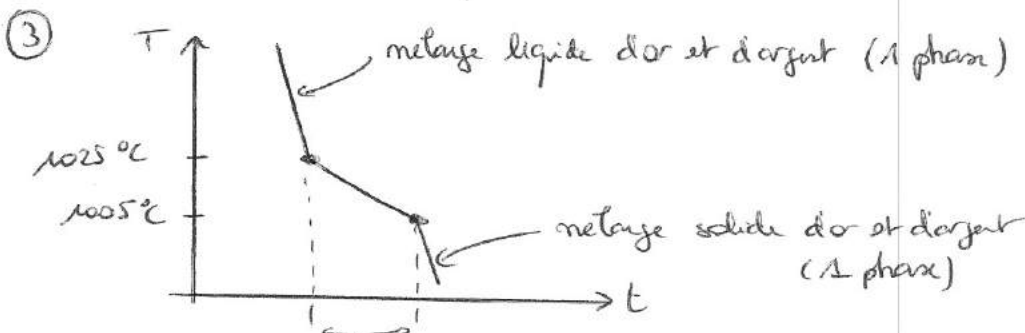
Condition d'habitabilité dun site octaédrique

$$\frac{a}{2} = R_{Ag} + R_O \Rightarrow R_O = 60 \text{ pm. } (\text{tangence sur une } \frac{1}{4} \text{ arête})$$

Conclusion: l'atome d'or ne peut s'insérer dans aucun des 2 sites ⇒ c'est un alliage de substitution.

(A44) ① (1) = liquide = t^o de fin de fusion.
(2) = solide = t^o de début de fusion) d'un mélange initialement solide.

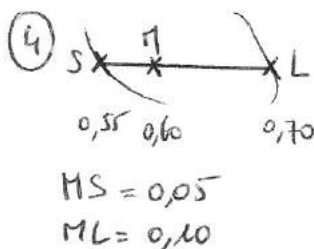
② L'absence de segment horizontal (entreign.) permet de conclure à la miscibilité totale des 2 métaux à l'état solide (et à l'état liquide)



durée des changements d'état $L \rightarrow S$
de l'or et de l'argent Δ SIMULTANÉ du
début à la fin.

Un calcul de variance permettrait de montrer que la température dispose d'un degré de liberté tout au long du refroidissement malgré la fixation de la pression.

Pdt de la solidification (exothermie), le refroidissement n'est ralenti.



Théorie des moments chimiques.

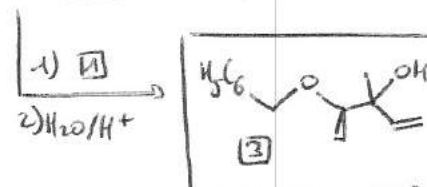
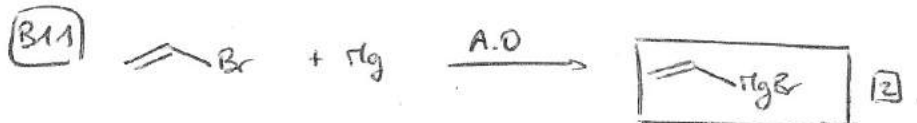
$$\begin{cases} n_{tar}^S MS = n_{tar}^L ML \\ n_{tar}^S + n_{tar}^L = 10 \text{ mol} \end{cases} \Rightarrow \begin{cases} n_{tar}^S = 6,7 \text{ mol} \\ n_{tar}^L = 3,3 \text{ mol.} \end{cases}$$

70% de la q^t de matière en phase liquide et de l'argent: $n_{Ag}^L = 2,3 \text{ mol}$

45% ————— en phase solide = 0 ⇒ $n_{Ag}^S = 3,0 \text{ mol}$

Partie B: Synthèse de la citroviridine

B1 - SYNTHÈSE DE L'INTERMÉDIAIRE 7



B12) Précautions relatives à l'exothermicité des réactions:

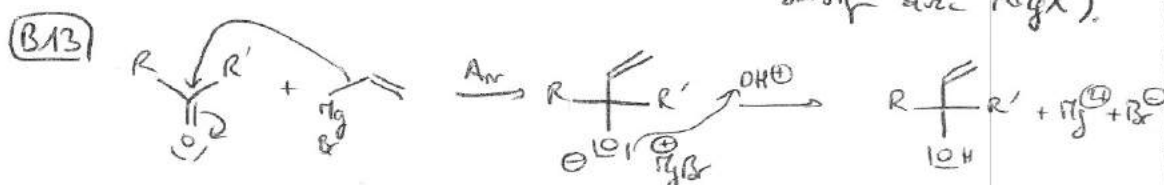
- Addition goutte-à-goutte (per de réactif à la fois)
- Dilution (intensité plus modérée)
- Refroidissement à 0°C.

1) l'aspect exothermique très souvent visible!

Précautions relatives aux réactions pouvant détruire $\text{CH}_2=\text{MgBr}$:

- Goutte à chlorure de calcium anhydre (capturer vapeur d'eau)
- THF anhydre

Flambeau séchés à la flamme } (diminuer la qté d'eau qui réagit par R° acido-basique avec R_2MgX).
Argon



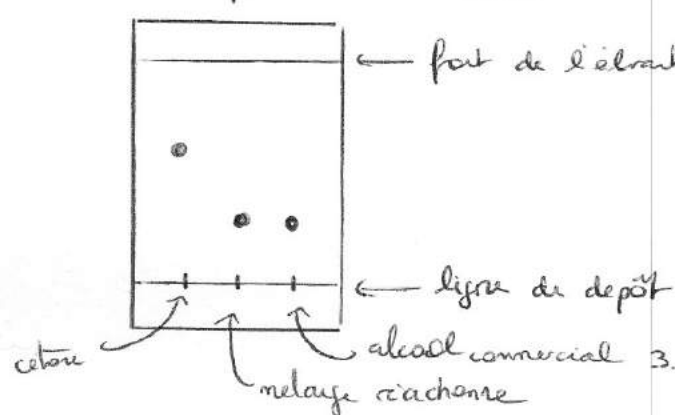
(B14) CCM: * BrT = vérifier que la cétone a été totalement convertie.

* Phæse en oeuvre: dépôt des solvants sur la ligne de base.
Migration dans une couche statique d'échant.

Relevé: UV ou avec le réactif chimique

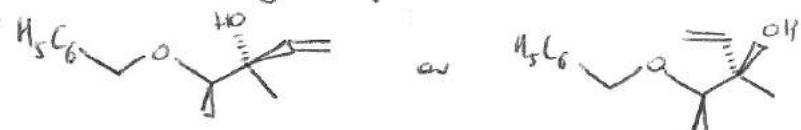
* Généralement, la plaque de silice réagit fortement les composés avec lesquels il est possible d'établir des liaisons hydrogène \Rightarrow migration moins de l'alcool, par rapport à la cétone.

CCM le principe (non demandé ici)
et celui d'une migration sur le support à des vitesses différents en raison de forces internes et de charge contrastant avec la phase mobile et avec la phase statique



(B15) le chlorure d'ammonium (NH_4^+ , Cl^-) permet de réaliser l'hydrolyse avec un acide faible, de manière à éviter l'hydratation de l'alcène.

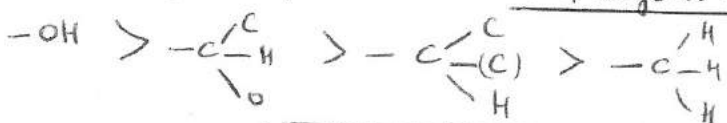
(B16) La planéité du groupe céto implique 2 possibilités pour l'approche de l'organomagnésien :



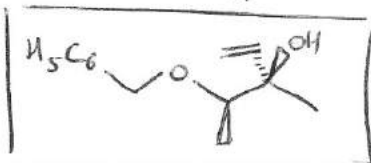
Ce sont donc diastéréoisomères.

Difficile d'affirmer qu'ils sont en même quantité, le groupe méthyle adjacent est vers l'avant, ce qui semble rendre plus facile l'accès par l'arrière. Cependant, on ne peut pas s'attendre à des différences de proportions importantes.

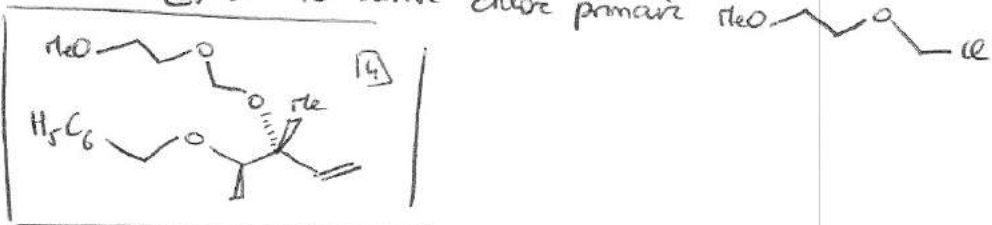
(B17) A partir des règles de préférence de Cahn, Ingold et Prelog:



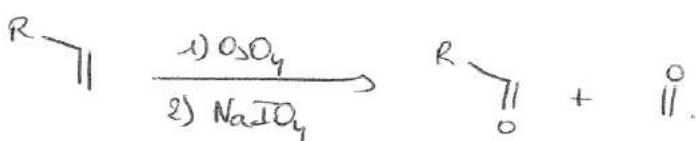
(R,R) ou



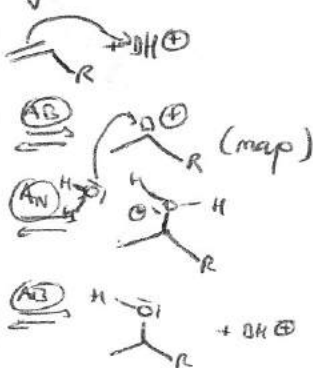
(B18) Il y a une substitution nucléophile bimoléculaire de l'alcool de [3] sur le dérivé chloré primaire $\text{H}_2\text{O}-\text{CH}_2-\text{CH}_2-\text{Cl}$



(B19) Pour couper la liaison double $\text{C}=\text{C}$, il faut réaliser une oxydation de Lemieux-Johnson



Hydratation de l'alcène:



Autre façon de le dessiner (R,R)

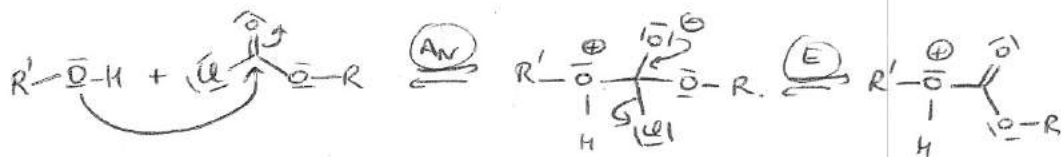


après rotation autour d'une liaison $\text{C}-\text{C}$.

① Pensez à vérifier la réponse avec les questions suivantes qui montrent la stéréochimie retenue.

B2- SYNTHESE DE L'INTERMEDIAIRE 12

[B21]



puis déprotection par la triéthylamine :

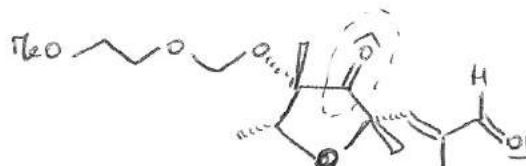


Activation du dérivé est invitée par analogie avec les chlorures d'acyle.

[B22] Il faut réaliser une β-élimination sur dérivé halogéné sans action sur le groupe carbonate (CO_3^{2-}).

⇒ Base forte mais non nucléophile : LDA.
(et chauffage).

[B23] $\text{H} \rightarrow 12$ est l'oxydation de l'alcool primaire en aldehyde. Selon l'oxydant utilisé, il y a un risque d'oxydation du groupe alcool secondaire également (en cétone).



Vérification avec le nombre d'insaturation
 $\text{C}_{15}\text{H}_{24}\text{O}_6 \rightarrow 4$ insat.

3 liaisons doubles 1 cycle.

[B24] [1] $\delta \approx 5,7 \text{ ppm}$ = H de la double liaison $\text{C}=\text{C}$.

[2] $\delta \approx 9,15 \text{ ppm}$ = H du groupe aldehyde $\text{R}-\text{C}(=\text{O})\text{H}$

$\delta \approx 6,69 \text{ ppm}$ = H de la double liaison conjuguée.

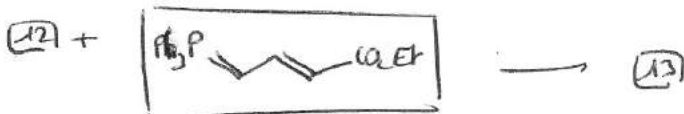
[B25] [1] bande à 3450 cm^{-1} : absorption de la vibration d'élongation de la liaison O-H. (2 groupes alcools)

[2] bande à 1680 cm^{-1} : vibration d'élongation de C=O conjuguée.

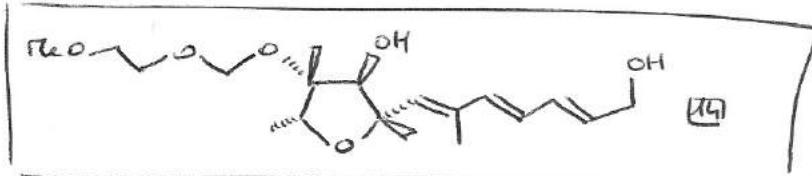
bande à 3435 cm^{-1} : vibration d'élongation de O-H (1 alcohol)

B3 - ACCÈS À LA CITREOVIRIDINE.

[B31] Pour créer une liaison double C=C à partir du groupe aldehyde, il faut réaliser une réaction de Wittig.



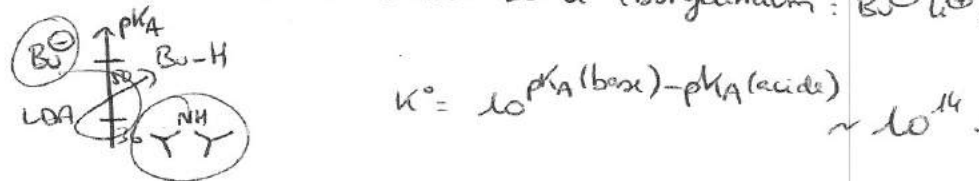
[B32] Le groupe ester a été réduit en alcool primaire :



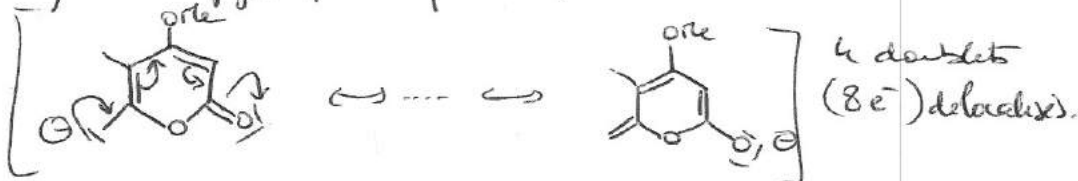
[B33]

- Oxydation de l'alcool primaire
- Puis déprotection de l'alcool

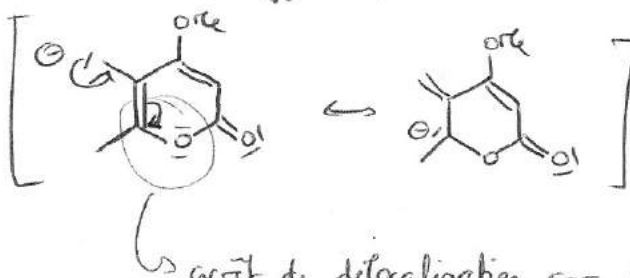
[B34] Seule une base de pK_a supérieur au pK_a du couple LOA peut convaincre : \Rightarrow on utilise Bu-Li (butyllithium : $\text{Bu}^\ominus (\text{Li}^+)$)



[B35] En comparant les stabilités des 2 bases conjuguées envisagées, on constate que celle présentée dans l'énoncé perdure un système conjugué plus important :



Autre base suggérée par l'énoncé :



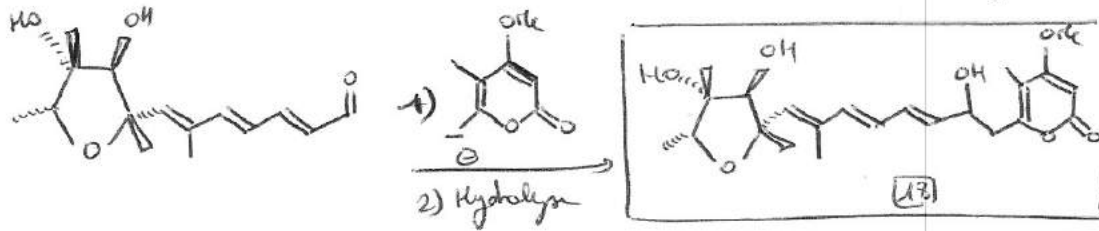
Arrêt de délocalisation car la conjugaison $\text{ONL} - \pi - \pi^*$ n'est réalisée dans le sens ONL vers π^*

\downarrow
donner \uparrow
accepter

⚠
Le sujet oublie de mettre le doublet non liant sur l'atome de carbone chargé \ominus . Ne fait pas pareil.

Je n'ai pas présenté toute les formes resonantes, mais seulement montré les doublets qui seraient successivement déplacés.

(B36) Il y a addition du nucléophile (carbonium) sur l'aldhyde



Ⓐ Revoir addition de l'acétal ou, au contraire d'ici, le carbonium (enolate) s'additionne sur un autre site électrophile du carbone conjugué.

(B37) Le tosylate (ester sulfonique) ici conduit directement au produit d'ionisation car le produit est particulièrement stabilisé (7 doubles liaisons conjuguées).

